

日本道路公団 正員 有藤 宏
 京都大学工学部 正員 杉戸真太
 京都大学工学部 正員 龍田弘行

1.はじめに 本研究は耐震工学上重要な工学的基盤に着目し、非定常パワースペクトルを用いて基盤の非定常地震動の統計的予測モデルを提案する。本研究で設定した基盤はS波速度700~800 m/s程度の層の上面とし、その上に層を持たない解放基盤を考えた。この条件を満足する記録として露頭岩盤上の記録があるが、統計解析データに不足するので、沖積地盤の地表又は地中で得られた記録から想定される基盤の地震動を、重複反射理論により推定し用いた。この基盤の地震動のデータベースは全14成分で、内訳は地表記録より推定(7成分)、地中記録より推定(8成分)、基盤と同等と考えられる露頭岩盤上の記録(6成分)である。

2.工学的基盤における地震動の推定 等価剛性化手法による重複反射理論を用いて、地表、地中の記録より基盤の地震動を推定した。土の非線形性を表わすモデルとしてHardin, Drnevich¹⁾のモデルを用いた。重複反射理論を用いた地盤の応答解析としてSHAKE²⁾があるが、等価剛性、等価減衰定数を決定する有効ひずみ γ_{eff} は最大ひずみ γ_{max} のみで決定されている。本研究では地盤の劣化には最大ひずみだけではなく、ひずみの繰返し効果も影響を与えることを考え、繰返時間の影響を取り入れたモデルを提案した³⁾。このモデルを示せば

$$\gamma_e = \gamma_{max} \times 0.6 \times (T_d / T_m)^{0.1} \quad (1)$$

T_d : Vanmarcke and Lai⁴⁾による繰返時間($=7.5 \times P_d / A_p^2$, P_d (トータルパワー), A_p (最大加速度))

T_m : 平均的繰返時間(本解析データの相乗平均より6.9秒)

これより有効ひずみは繰返時間により最大ひずみの0.5~0.7倍程度になる。本手法の妥当性を検討するために日本鋼管にて、川崎市で得られた地表、地中の同時観測記録⁵⁾と比較した。地下50mで得られた実記録と地表の記録より上述の手法で地下50mの地震動を推定したものとを比較した。この結果を応答スペクトルで図1に示す。観測値と推定値が良い一致を示すことがわかる。以上のようすを検討の後に85成分について基盤動を推定したが、その際、初期微動部はカットし、表面波の含まれている地表記録は後藤ら⁶⁾による表面波の分離法を適用して後に基盤動を推定した。

3.基盤における地震動予測 文献⁷⁾で非定常パワースペクトルを用いた沖積地盤における非定常地震動の統計的予測モデルを提案しているが、上記のデータに基づき基盤におけるモデルを作成した(EMP-Bモデル)。非定常性を有する模擬地震波 $x(t)$ を以下のように表わす。

$$x(t) = \sum_{k=1}^m \sqrt{2G_x(t, \omega_k)} \Delta \omega \cos(\omega_k t + \phi_k) \quad (2)$$

$G_x(t, \omega_k)$: 非定常パワースペクトル, ω_k : 振動数

$\Delta \omega$: 振動数のさごみ幅, m : 振動数の個数

ここで非定常パワースペクトル $G_x(t, \omega_k)$ を(3)式、図2に示す。

$$\sqrt{G_x(t, \omega)} = \sqrt{G_x(t, 2\pi f)} \\ = \begin{cases} 0 & ; t \neq t_s \\ \frac{d\alpha(f)}{dt} \{t - t_s(f)\} \exp\left\{1 - \frac{|t - t_s(f)|}{t_p(f)}\right\} & ; t_s < t \end{cases} \quad (3)$$

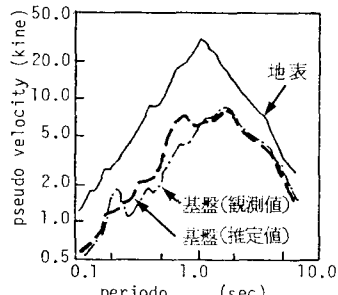


図1. 同時記録と推定地震動の比較
(千葉県中部地震, X成分)

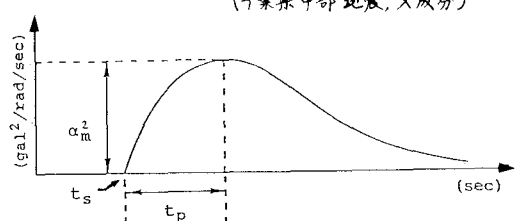


図2. 非定常パワースペクトルのモデル

$\Delta_m(t)$; 深度パラメータ, $t_p(t)$; 振幅時間パラメータ, $t_a(t)$; 立方上ひき時刻
このモデルはパラメータをマグニチュード M , 震央距離 Δ により次式で回帰分析する。

$$\log_{10} \widehat{\Delta_m}(t) = B_0(t) + B_1(t) \cdot M - B_2(t) \cdot \log_{10} (\Delta + 30)$$

$$\log_{10} \widehat{T_p}(t) = P_0(t) + P_1(t) \cdot M + P_2(t) \cdot \log_{10} (\Delta + 30)$$

$$\widehat{X_s}(t) = S_0(t) + S_1(t) \cdot \Delta$$

強度パラメータ $\widehat{\Delta_m}(t)$ の係数 B_0, B_1, B_2 について図3に示す。これより基盤動の強度はマグニチュードによらず一様に増減され、高振動数成分ほど距離減衰をうけやすくなることがわかる。以上(2), (3), (4)式により仕事のマグニチュードと震央距離の非定常地震動が求められ、その例を図4に示す。

4. 大規模断層破壊による地震動の予測モデル

大規模地震では断層の広がり、破壊方向等が特に地震動に影響すると考えられる。そこで先のEMP-Bモデルを発展して大規模断層による地震動予測モデルを提案した。大規模断層を2次元の震源分割モデル(図5)によりEMP-Bモデルの重ね合わせで推定する。すなはち、大規模断層をマグニチュードの要素波 v_p もつ小断層に分割し、断層破壊(凸状)進行し小断層が順に破壊したとして非定常パワースペクトルの平方根の面積比を表わし、わが国における1/2の地震データより次式を得られる。

$$N_G = 5.117 \times 10^{-12} \times M_0^{0.455} \quad (M_0: 地震モーメント) \quad (5)$$

(5)式に全振動数域についてであるが、振動数域での N_G が多少異なるのでそれを補正して重ね合わせる。この手法を1968年十勝沖地震(八戸)に適用し再現を行った(図6, 表1)。また基盤レベルの地震動から重複反射理論により地表の地震動を推定し、実記録(表面波成分除去)と比較して(図7, 表1)。両者良い一致を示す。

謝辞 日本鋼管技術研究所、大石・関口両氏より貴重なる同時記録を、また運輸省港湾技術研、土田・野田・倉田各氏より最新の地震記録を提供して頂いた。

- 参考文献
- 1) Hardin, Drnevich, ASCE, V6/98, SM16.7, 1972
 - 2) Schreiber, Lysmer, Seed, ERRC-72-12, 1972, 3) 斎藤宏, 防災工学論文, 1984, 4) Vanmarcke, Lai, BSSA, V6/70, 1980
 - 5) 大石, 関口, JWCEE, 6) 後藤, 不戸, 加川, 自然災害シンポジウム, 1983, 7) 遠山, 不戸, 浅井, JWCEE, 1980

表1 最大地動の比較

	基盤レベル		地表レベル	
	実地震動	再現地震動	実地震動	再現地震動
Amax(gal)	181.4	151.1	237.8	255.6
Vmax(kine)	14.2	8.5	23.1	15.1
Dmax(cm)	1.7	2.3	3.0	3.5

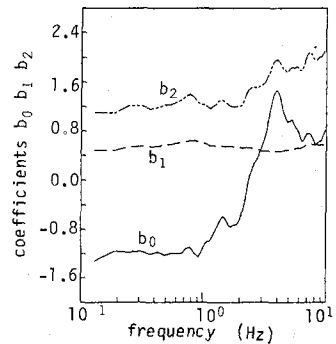


図3. $\widehat{\Delta_m}(t)$ の回帰係数

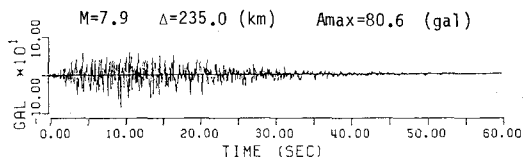


図4. 非定常地震動のシミュレーション

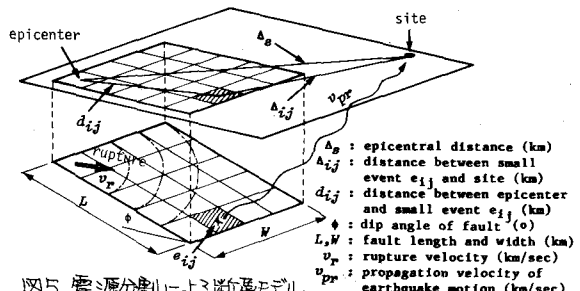


図5. 震源分割による断層モデル

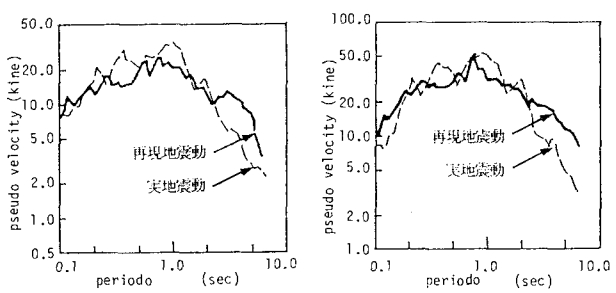


図6. 実地震動と再現地震動の比較
(基盤レベル)

図7. 実地震動と再現地震動の比較
(地表レベル)